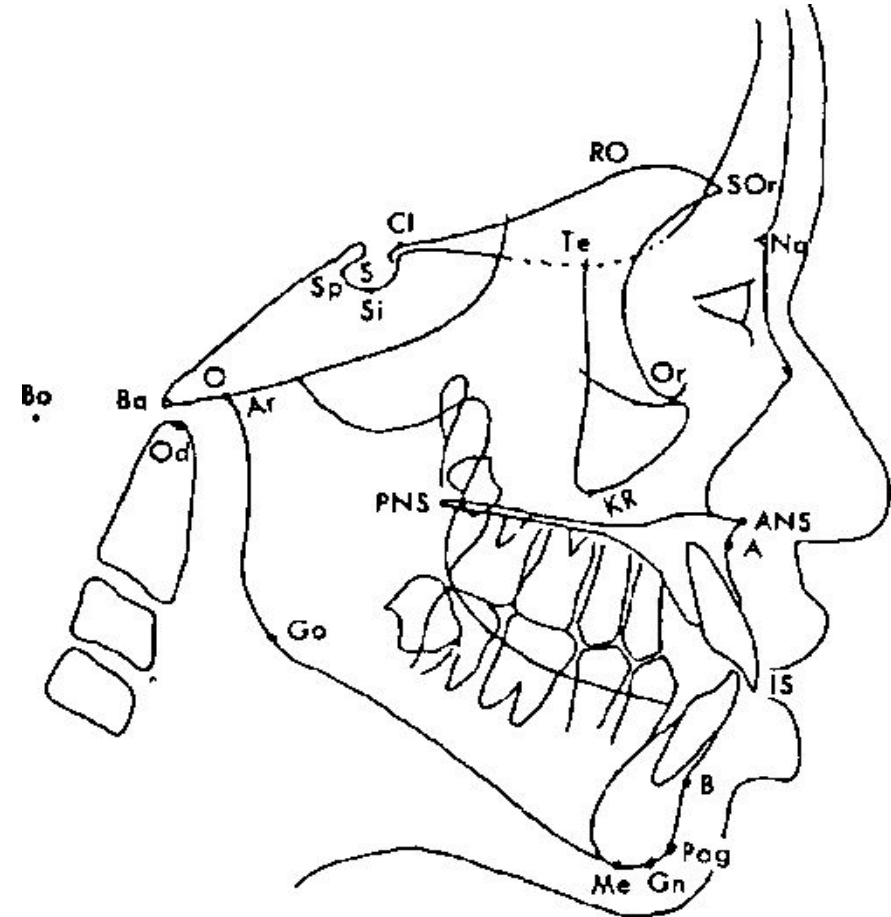


SASSOUNI PLUS CEPHALOMETRIC ANALYSIS

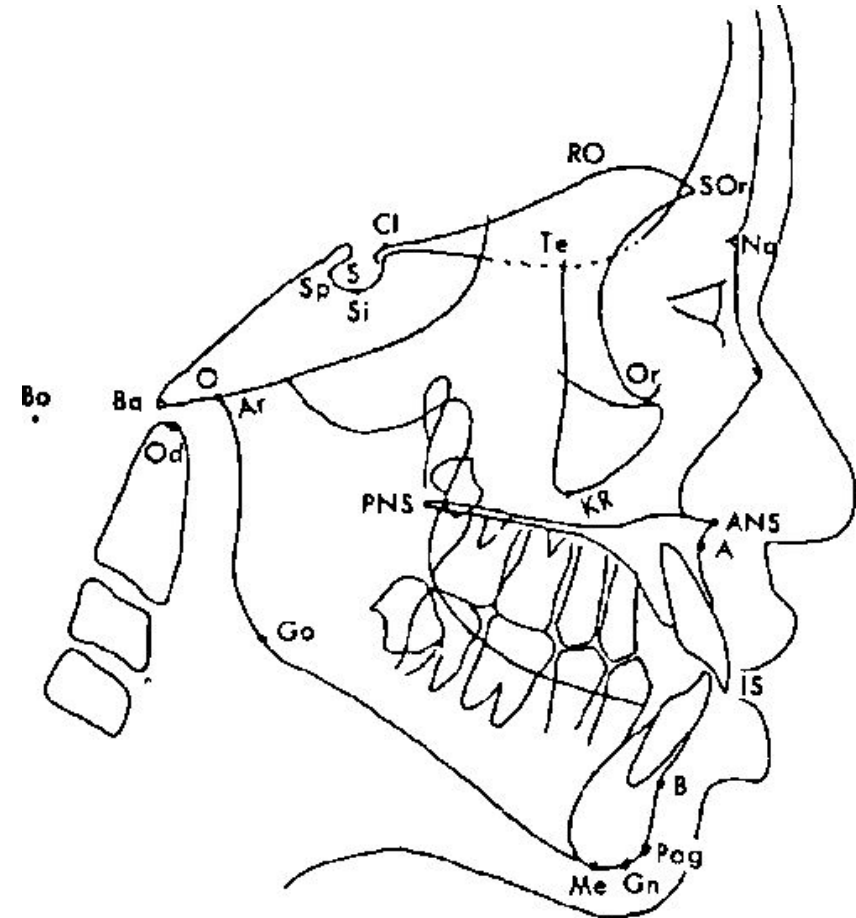
ЧЕРЕПНЫЕ ОРИЕНТИРЫ

- **Na (Nasion)** - Наиболее передняя точка лобно-носового шва
- **ANS (Anterior Nasal Spine)** - Наиболее передняя точка верхней челюсти
- **FO (floor of orbita)** – наиболее нижняя точка на внутреннем контуре дна орбиты.
- **PNS (Posterior Nasal Spine)** - Наиболее задняя точка твёрдого нёба.



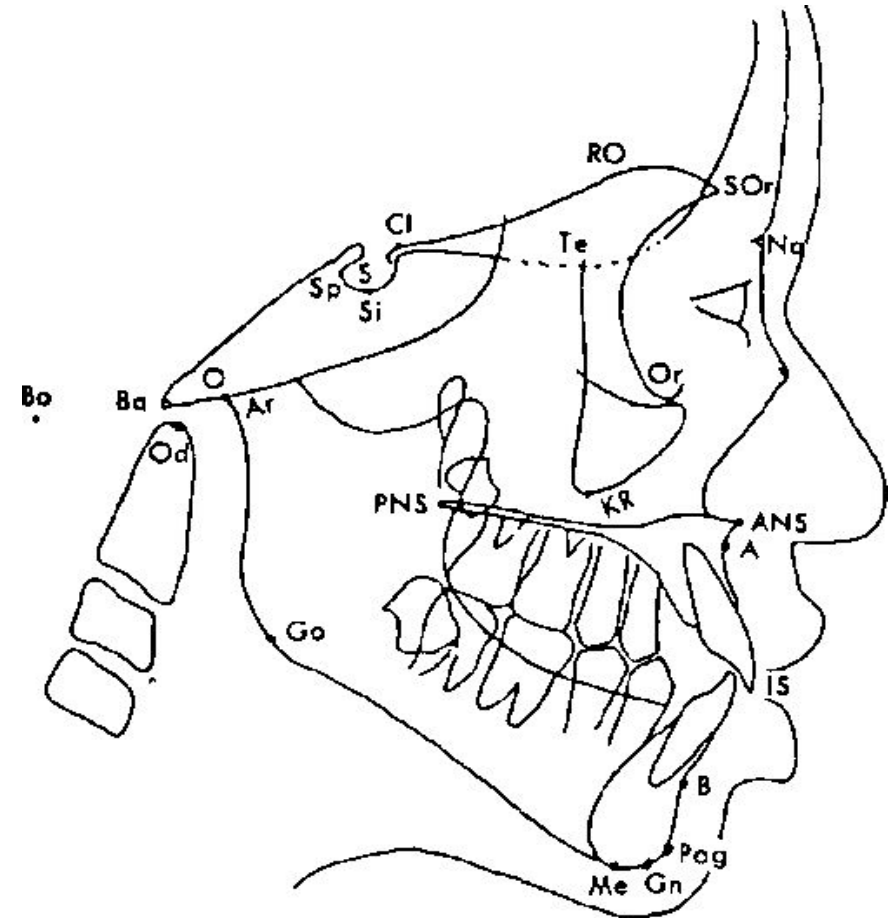
ЧЕРЕПНЫЕ ОРИЕНТИРЫ

- **B** (**Basion**) - Наиболее передняя точка Foramen Magnum.
- **Sp** (**Sella-posterior**) - Наиболее задняя точка внутреннего контура турецкого седла
- **Si** (**Sella inferior**) - Наиболее нижняя точка внутреннего контура турецкого седла
- **SO** (**Supra Orbitali**) - Наиболее передняя точка пересечения тени крыши глазницы, и её латерального контура.



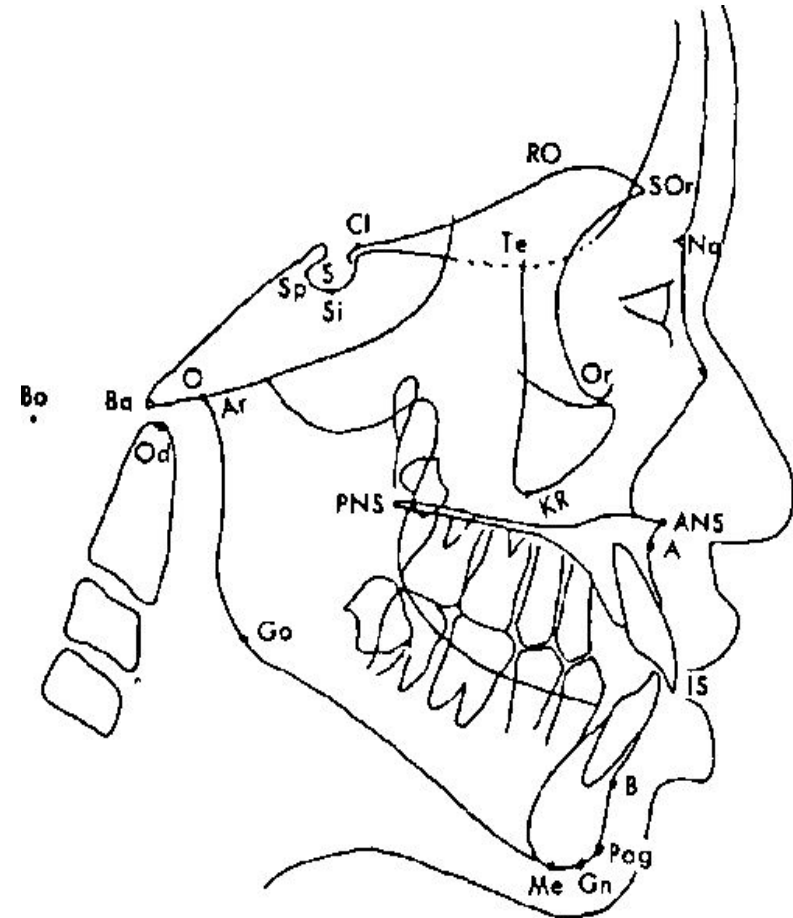
ЧЕРЕПНЫЕ ОРИЕНТИРЫ

- **Te (Temporale)** - Пересечение тени решётчатой кости и передней стенки подвисочной ямки.
- **Cr (Cribiform)** - Пересечение плоскости тела клиновидной кости с большим крылом клиновидной кости.
- **Go (Gonion)** - Конструктивная точка пересечения плоскости ветви нижней челюсти и плоскости нижней челюсти.
- **A - point** - Самая глубокая точка передней части альвеолярного отростка верхней челюсти



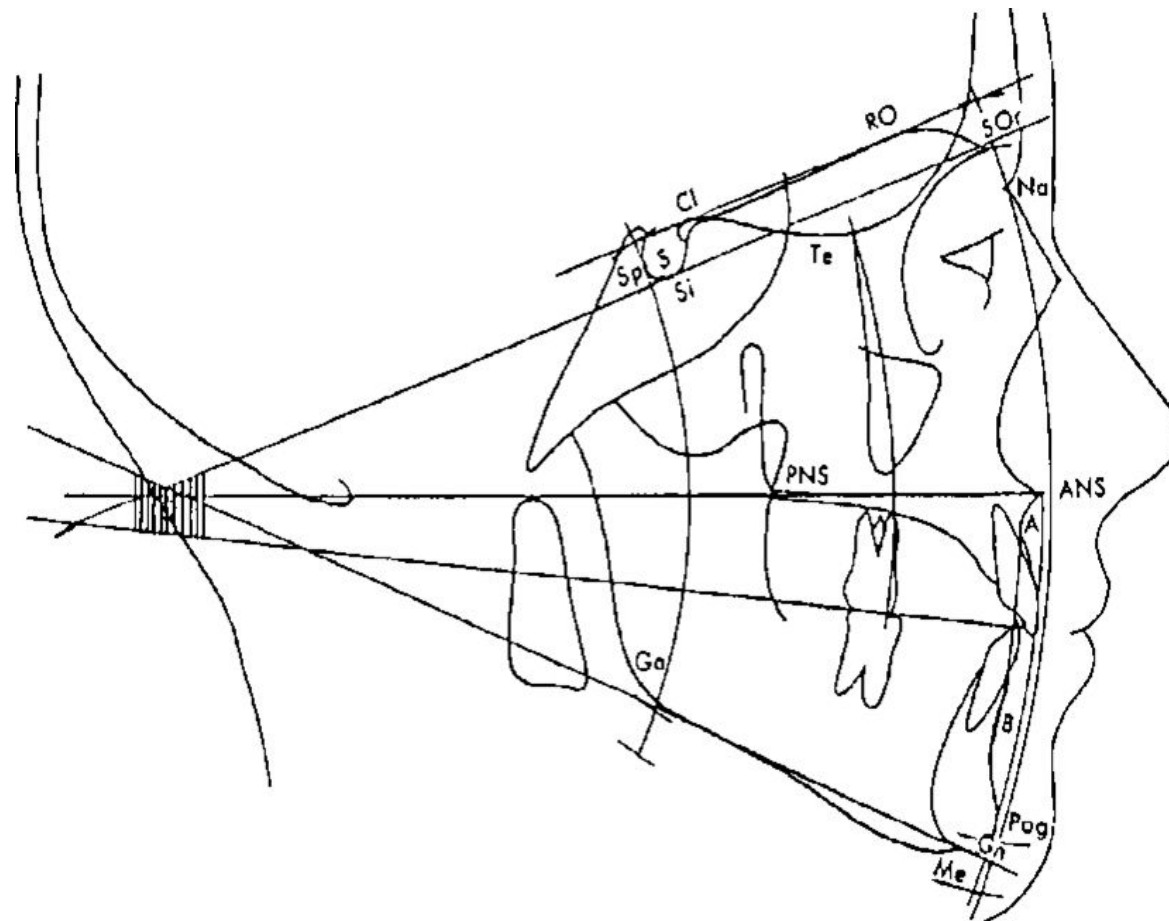
ЧЕРЕПНЫЕ ОРИЕНТИРЫ

- **B - point** - Самая глубокая точка передней части альвеолярного отростка нижней челюсти
- **Pg (Pogonion)** - Наиболее передняя точка нижнечелюстного симфиза.
- **Me (Menton)** - Наиболее нижняя средняя точка нижнечелюстного симфиза.
- **is (incision superior)** - Наиболее выступающая точка режущего края центрального резца верхней челюсти.
- **ii (incision inferior)** - Наиболее выступающая точка режущего края центрального резца нижней челюсти.



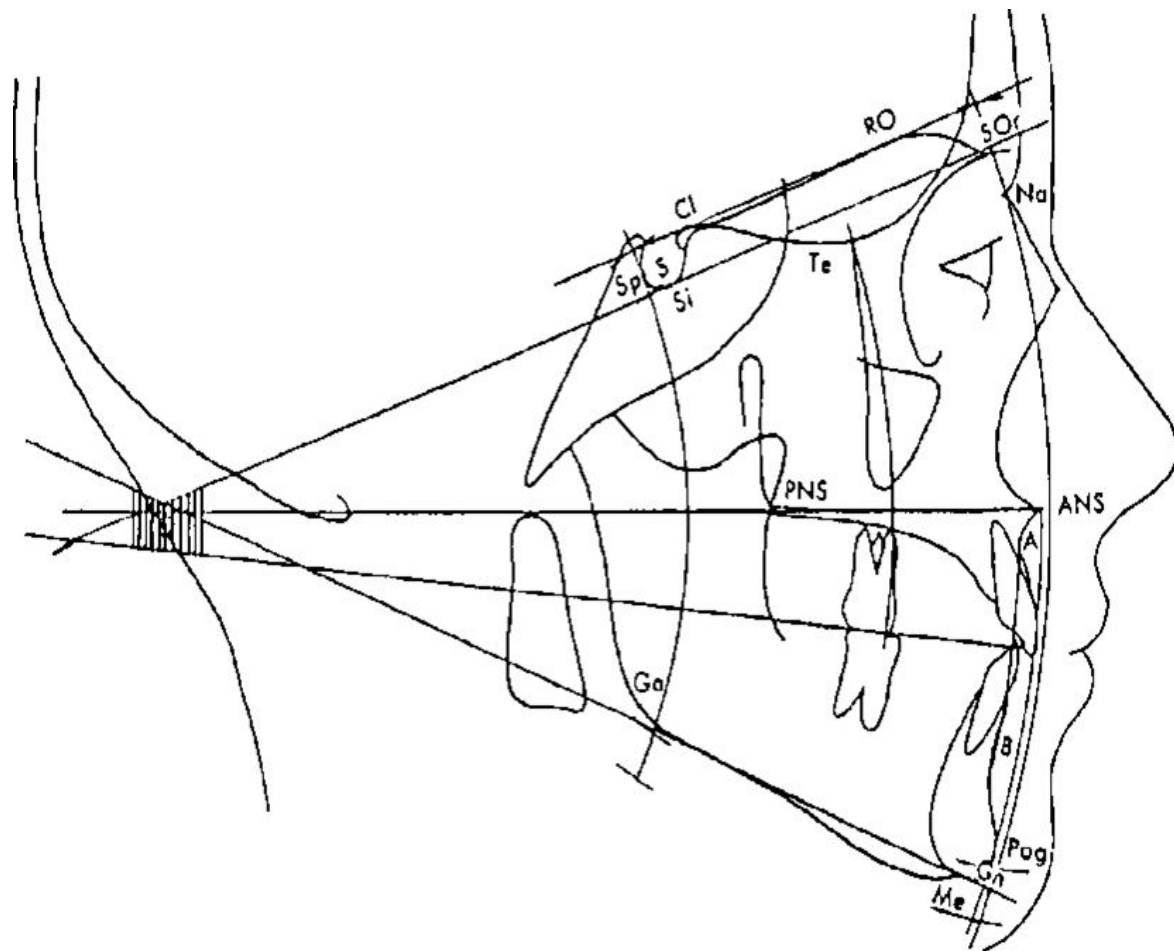
ОСНОВНЫЕ ЧЕРЕПНЫЕ ПЛОСКОСТИ

- Parallel to supraorbital plane – плоскость параллельная supraorbital plane и проведенная через точку и Si.
- Palatal plane – плоскость проведенная через точки ANS и PNS.



ОСНОВНЫЕ ЧЕРЕПНЫЕ ПЛОСКОСТИ

- Occlusal plane – проводится так, чтобы к ней прикасалось не менее трех бугров моляров. Она делит середину резцового перекрытия и перекрытия бугров последних зубов, находящихся в контактах.
- Mandibular plane - плоскость основания тела нижней челюсти, которая проходит через точки Me и конструктивный Go.



ПОСТРОЕНИЕ ДУГ

- Anterior arc (N-arc) – поводится дуга радиусом «O»-Na.
- Basal arc – дуга радиусом «O»-A.
- ANS arc – дуга радиусом «O»-ANS
- Midfacial arc - дуга радиусом «O»-Te
- Posterior arc - дуга радиусом «O»-Sp

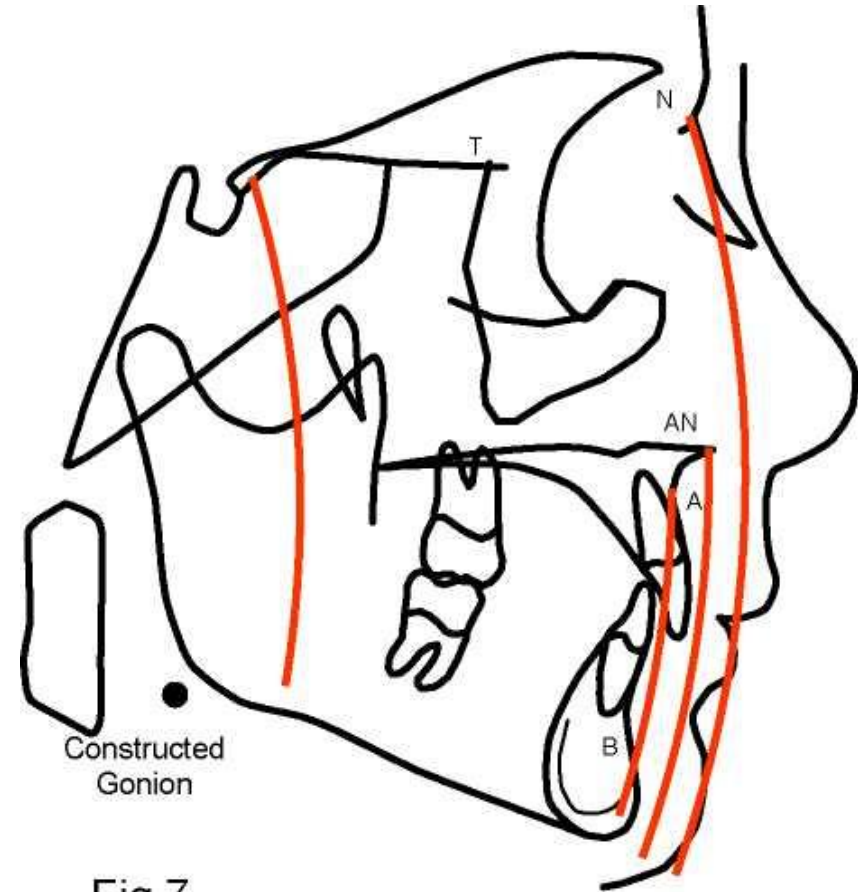


Fig 7

ПОСТРОЕНИЕ ДУГ

- Anterior vertical proportion - дуга радиусом ANS-SOr
- Posterior vertical proportion - дуга радиусом PNS-точка пересечения Posterior arc и Parallel to supraorbital plane.

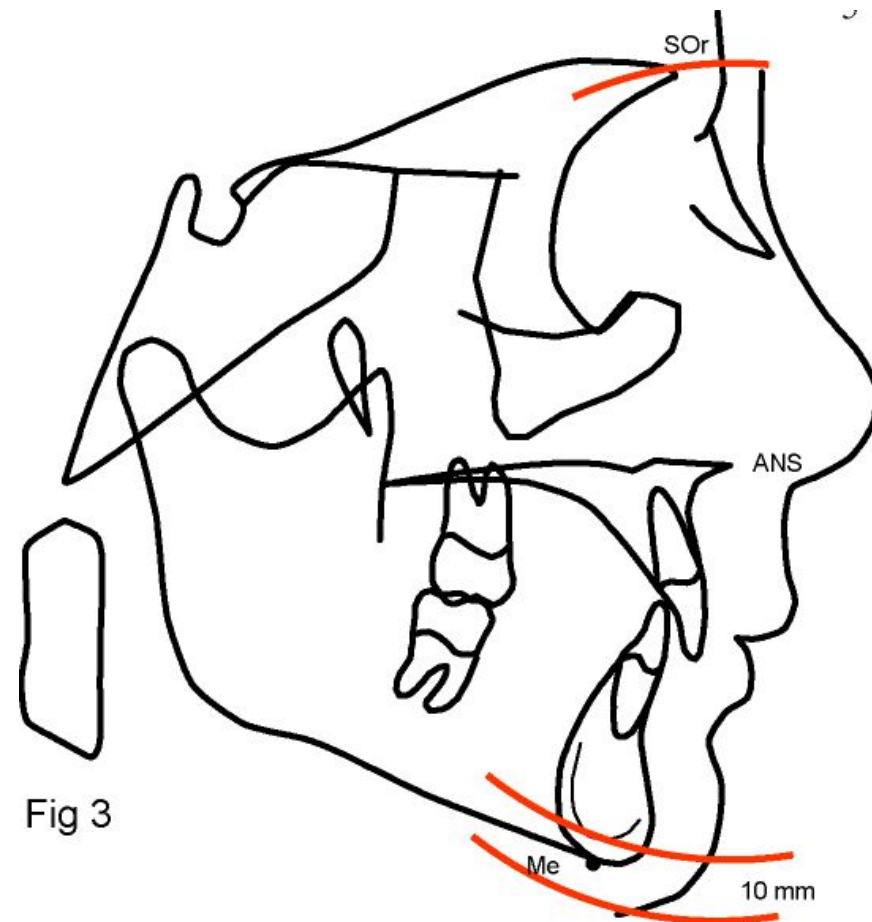
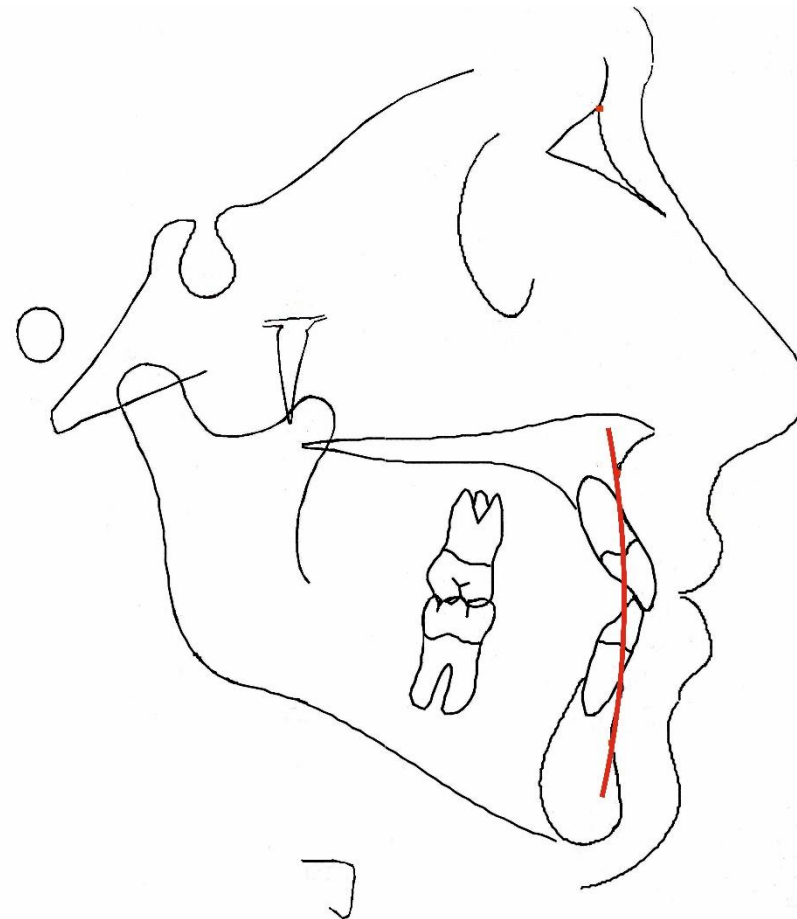


Fig 3

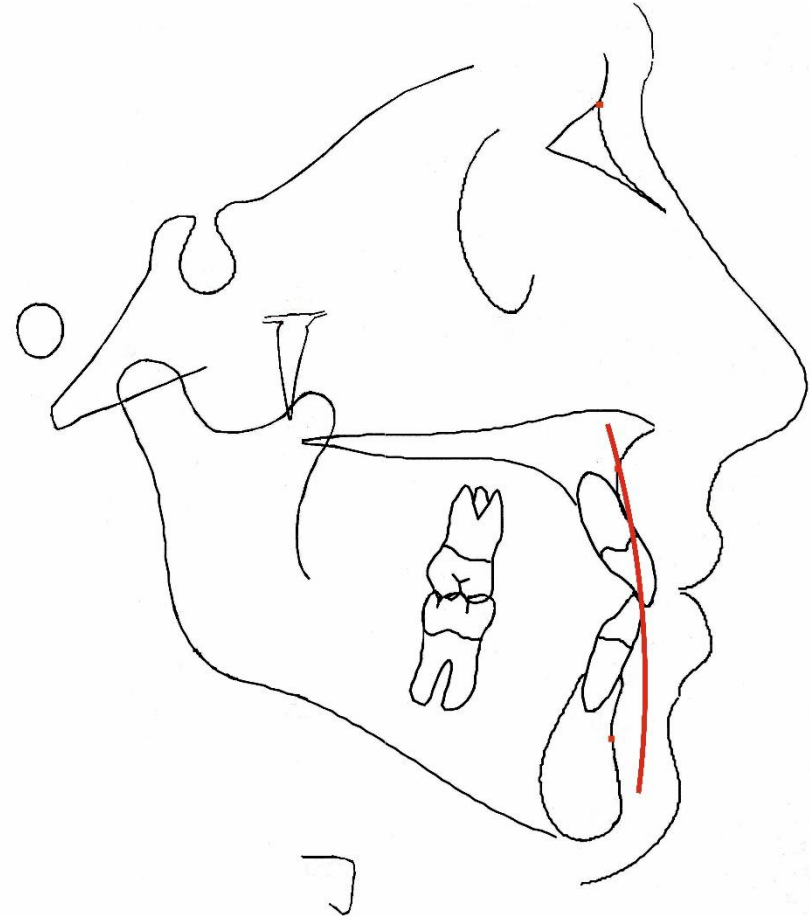
Skeletal class

- **Skeletal class I** характеризуется нейтральным (нормальным) соотношением челюстей. На ТРГ при построении базальной дуги, т.В находится на ней, либо отклонена в горизонтальном направлении на расстояние, не превышающее 1 мм (CLASS I = 0mm +\ - 1mm)



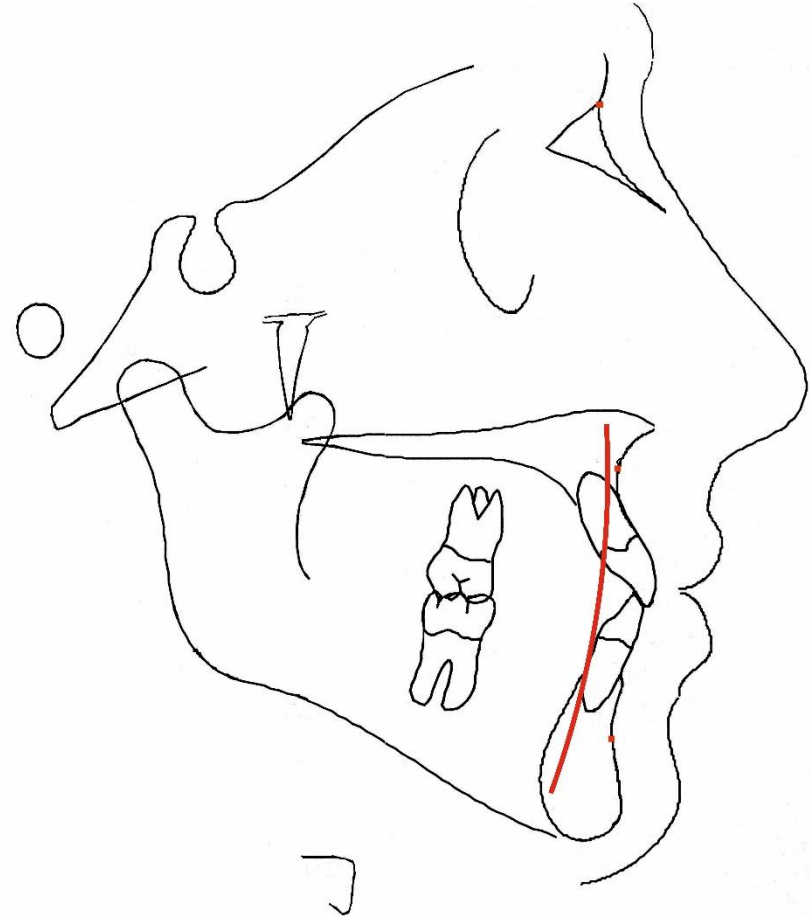
Skeletal class

- **Skeletal class II** характеризуется дистальным положением нижней челюсти. На ТРГ при построении базальной дуги, т. В отклонена кзади в горизонтальном направлении. В случае отклонения на 2-3 мм от дуги можно говорить о тенденции к классу II, в то время как при отклонении более 3 мм с уверенностью можно говорить об истинном II классе.
- CLASS II tendency = -2\ -3mm
- CLASS II = <-3mm



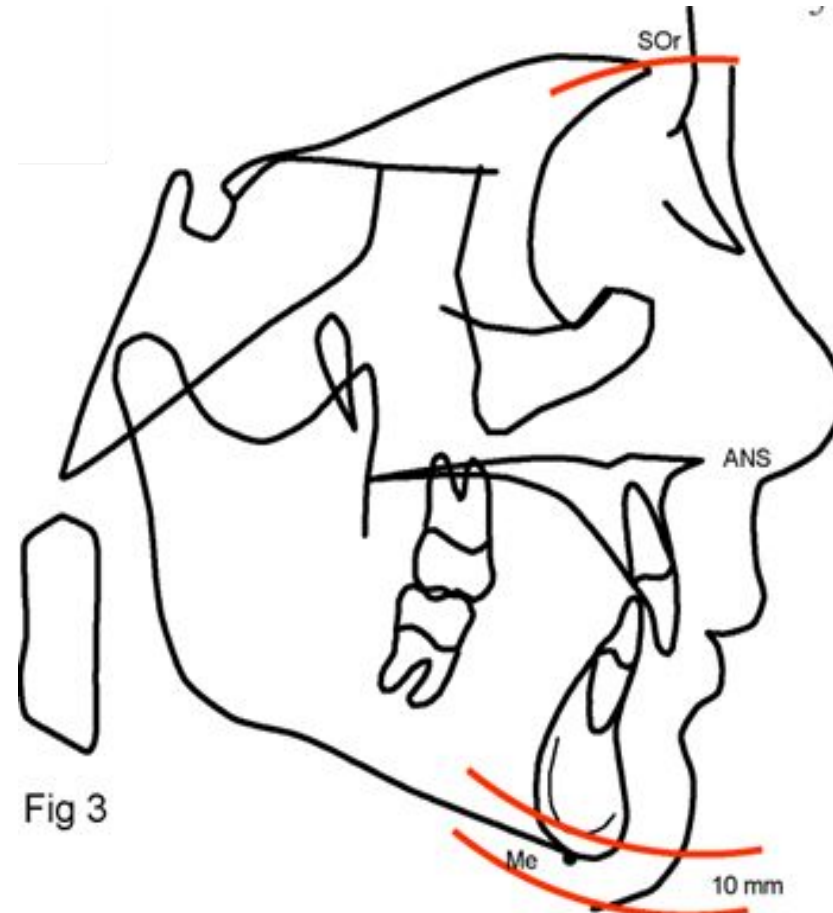
Skeletal class

- **Skeletal class III** характеризуется мезиальным положением нижней челюсти. На ТРГ при построении базальной дуги, т. В отклонена кпереди в горизонтальном направлении. В случае отклонения на 2-3 мм от дуги можно говорить о тенденции к классу III, в то время как при отклонении более 3 мм с уверенностью можно говорить об истинном III классе.
- CLASS III tendency = +2\+3mm
- CLASS III = > 3mm



Skeletal vertical

- определяется как отношение точки Me к дуге Anterior vertical proportion. В возрасте 4 лет Me должен находиться на этой дуге. С каждым годом он смещается вниз в среднем на 0,75 мм в год. Примерно к 18 годам Me достигает нижней дуги, которая располагается на 10 мм ниже первой дуги.



Upper incisor position

- определяется как отношение резцовой точки (точка на режущем крае верхнего резца) к ANS arc.
- Normal position=0-4mm
- Protrusion=>4mm
- Retrusion=<0mm

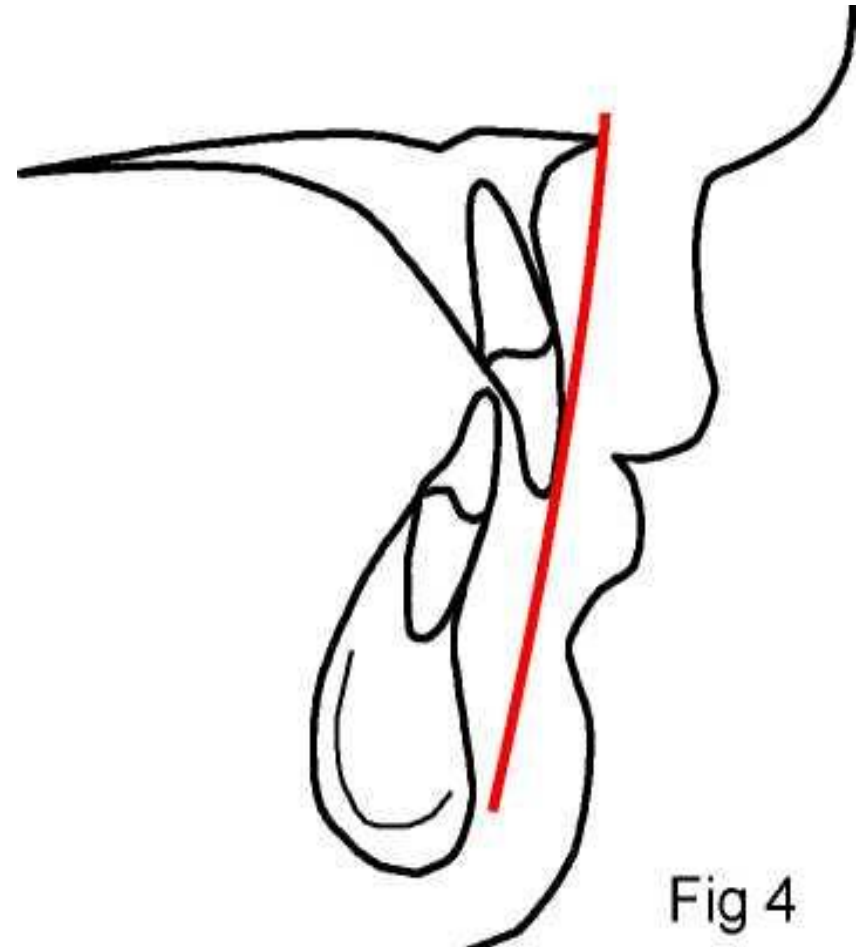


Fig 4

Upper incisor Inclination

- определяется как наклон верхних резцов к небной и оптической плоскости. Причем в последнее время предпочтение отдается оптической, в виду ее большей стабильности. Нормальное значение угла варьирует от 110 до 113.

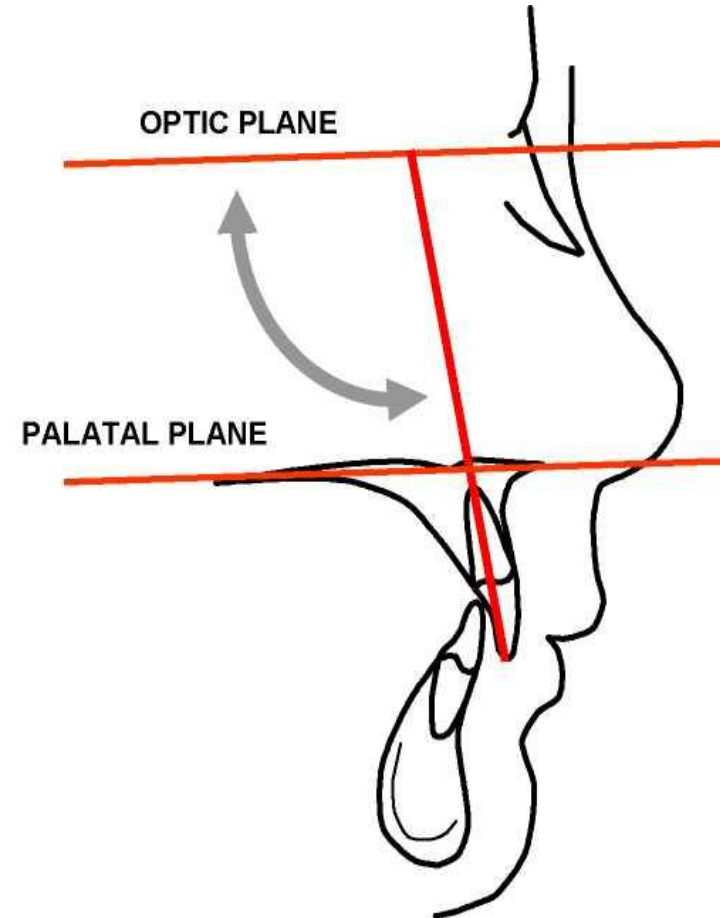


Fig 8

Dentoalveolar compensation

- определяется как расстояние между резцовой точкой и точкой пересечения длинной оси резца с небной плоскостью. В норме равняется 32,5мм. Данный показатель определяет показания к интрузионной и экстррузионной механики, а так же служит индикатором протрузии или ретрузии резцов.

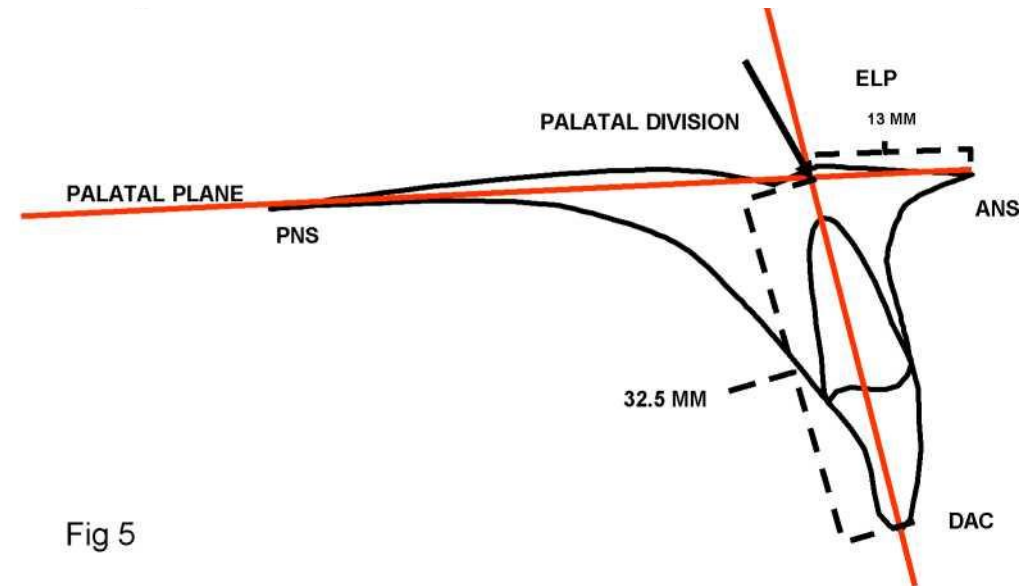


Fig 5

Effective length of premaxilla

- определяется как расстояние от ANS до точки пересечения длинной оси зуба с небной плоскостью. В норме от 12 до 15 мм.

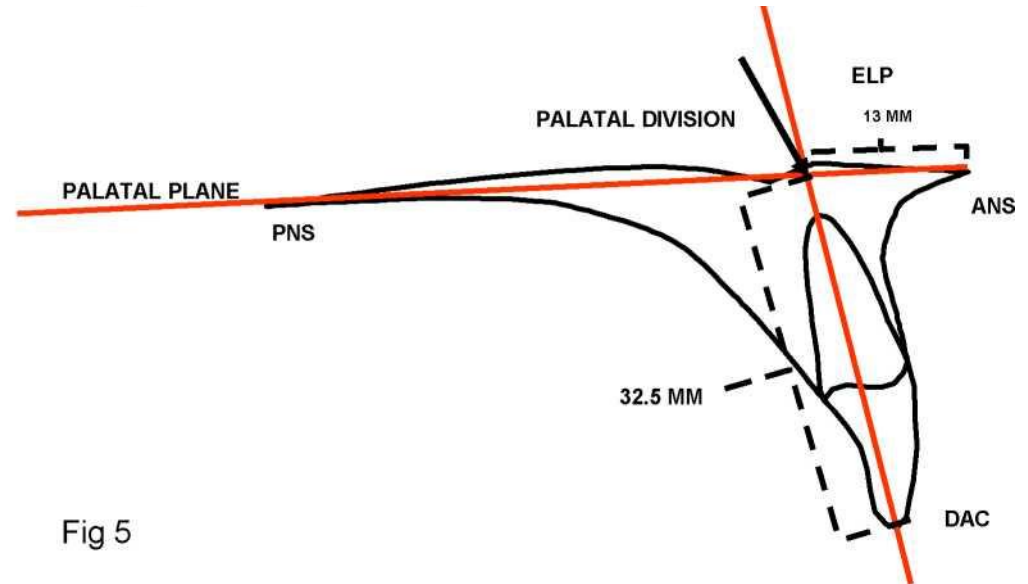
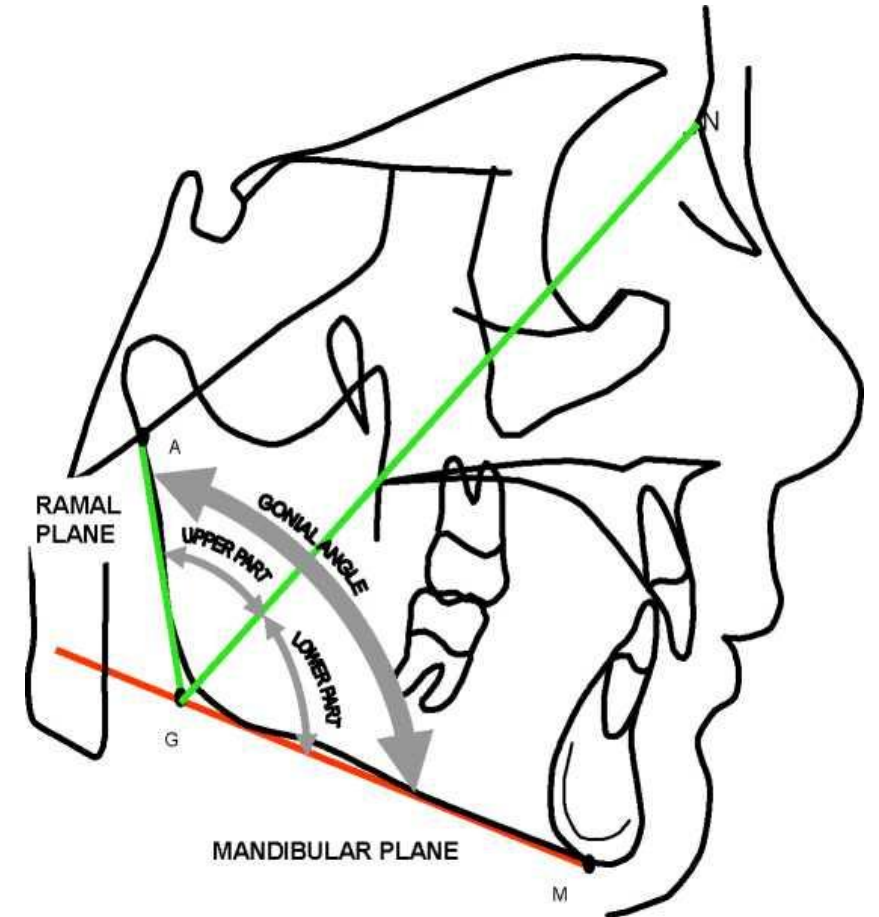


Fig 5

Growth direction

Тип роста	значение соотношения
N	70-78%
CWT	69,9-68,1%
CW	68% и менее
CCWT	78,1-79,9%
CCW	80% и более



Maxilla length & maxilla position

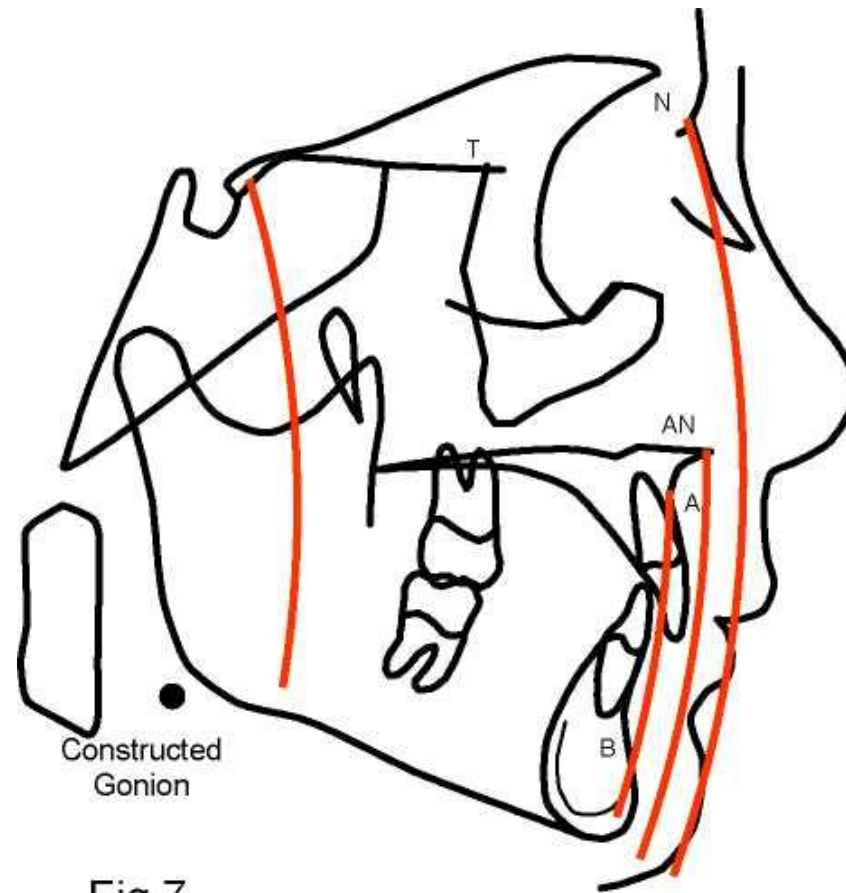
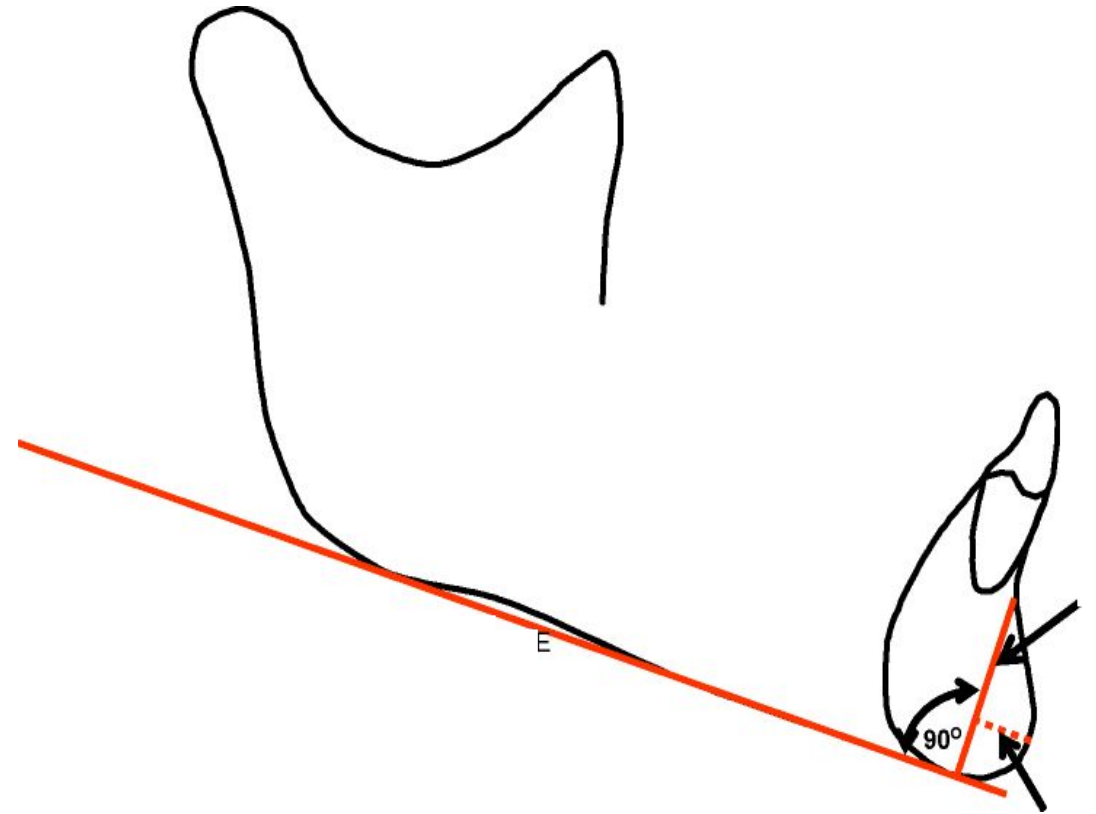


Fig 7

Length of Pogonion

- **Length of Pogonion** определяется как расстояние от Pg до перпендикуляра из точки В к нижнечелюстной плоскости.
- N=6-9mm
- Short anteriorly=<6mm
- Long anteriorly=>9mm



Mandible position & mandible length

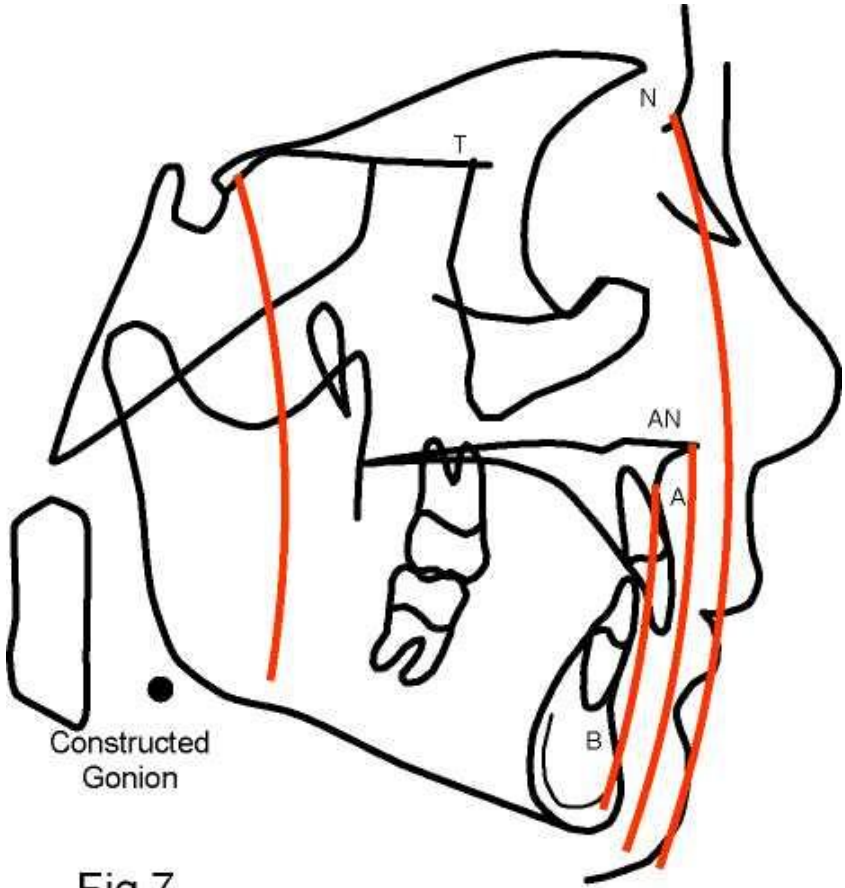


Fig 7